



СОФИЙСКИ УНИВЕРСИТЕТ  
”СВ. КЛИМЕНТ ОХРИДСКИ”

ФАКУЛТЕТ ПО МАТЕМАТИКА И ИНФОРМАТИКА

КАТЕДРА ЧИСЛЕНИ МЕТОДИ И АЛГОРИТМИ

---

**Дипломна работа**

на тема:

**Рандомизирани квази-Монте Карло алгоритми за  
намиране на екстремални собствени стойности**

---

*Автор:*

Александър Огнянов Маразов

Специалност: Изчислителна математика и математическо моделиране

Факултетен номер: M23074

*Ръководител:*

Проф. Анета Караиванова

Институт по информационни и комуникационни технологии-БАН

4 ноември 2013 г.

# Съдържание

|          |   |           |
|----------|---|-----------|
| <b>1</b> | <b>Въведение</b>  | <b>3</b>  |
| 1.1      | Намиране на собствени стойности . . . . .                             | 4         |
| 1.1.1    | Кратък обзор на Монте Карло Методите за собствени стойности . . . . . | 5         |
| 1.1.2    | Степенен метод . . . . .  | 5         |
| 1.1.3    | Метод на Арнолди . . . . .  | 7         |
| <b>2</b> | <b>Разбъркани квазислучайни редици</b>                                | <b>8</b>  |
| 2.1      | Квазислучайни редици . . . . .  | 8         |
| 2.1.1    | Редица на Собол . . . . .   | 10        |
| 2.1.2    | Редица на Холтън . . . . .  | 13        |
| 2.1.3    | Редица на Фор . . . . .   | 14        |
| 2.1.4    | $(t, m, s)$ -мрежи и $(t, s)$ -редици . . . . .                       | 14        |
| 2.2      | Разбъркани квазислучайни числа . . . . .                              | 16        |
| <b>3</b> | <b>Степенен метод с Монте Карло итерации</b>                          | <b>21</b> |
| 3.1      | Степенният метод и квази-Монте Карло методите . . . . .               | 22        |
| 3.1.1    | Балансиране на грешката и сложност . . . . .                          | 24        |
| <b>4</b> | <b>Числени експерименти</b>   | <b>25</b> |
| 4.1      | Използвани технологии и библиотеки . . . . .                          | 25        |
| 4.2      | Конструиране на тестовите матрици . . . . .                           | 26        |
| 4.3      | Резултати от експериментите . . . . .                                 | 26        |
| <b>5</b> | <b>Заклучение</b>   | <b>31</b> |
| <b>A</b> | <b>Степенен метод с Монте Карло итерации на Python</b>                | <b>32</b> |

### **Абстракт**

Рандомизираните квази-Монте Карло методи комбинират предимствата на Монте Карло и квази-Монте Карло методите. Те се базират на разбъркани квазислучайни редици. Рандомизацията има две основни предимства. Първо, тя предоставя практичен метод за оценка на грешката, като третира всяка редица с малък дискрепанс като различна и независима реализация на фамилия от случайни редици с малък дискрепанс. По този начин рандомизираните квази-Монте Карло методи преодоляват основния си недостатък, запазвайки реда на сходимост на квази-Монте Карло методите. На второ място, разбъркването ни дава възможност по прост и унифициран начин да генерираме поредица от квазислучайни редици за паралелни и разпределни изчисления. В същото време, използването на разбъркани редици запазва предимствата на квази-Монте Карло методите по отношение на точността на пресмятанията и скоростта на сходимост. Това ни мотивира да приложим разбъркваните квазислучайни редици за да приближено намиране на доминантни собствени стойности.

Целта на настоящата дипломна работа е изследване на различни варианти на разбъркване на редицата на Фор и приложението им за приближено намиране на доминантната собствена стойност на матрица с рандомизиран квази-Монте Карло метод. Получените резултати са сравнени с резултатите от Монте Карло и квази-Монте Карло метод.

## Означения

### Числови множества

$\mathbb{C}$  комплексни числа

$\mathbb{R}$  реални числа

### Матрици

Векторите са вектори-колони и са означени с малки латински букви:  $x, y, \dots$

Матриците са означени с големи латински букви:  $A, B, \dots$

и за техните елементи се използва Matlab означение: за матрицата  $A$

$A(i, j)$  е елемента на  $i$ -ти ред и  $j$ -та колона

$A(k : l, j)$  е вектора-колона с елементи от  $j$ -тата колона от позиции  $k$  до  $l$

$A(i, k : l)$  е вектора ред от  $i$ -тия ред, колони от  $k$  до  $l$

$A(:, j)$  е  $j$ -тата колона

$A(i, :)$  е  $i$ -тия ред

$A^H$  е комплексно спрегнатата матрица на  $A$

$A^T$  е транспониранта матрица на  $A$

$\langle x, y \rangle$  е скаларното произведение равно на  $x^H y$ .

### Вероятности

$\mathbb{P}(E)$  вероятността на събитието  $E$

$\mathbb{E}(X)$  математическото очакване на случайната величина  $X$

# Глава 1

## Въведение

Монте Карло методите са едни от най-широко използваните числени методи за решаване на задачи в областите статистическа физика, статистическа химия, биология и др. Тяхното основно предимство се проявява при решаване на задачи с много голяма размерност.

Стохастичните числени методи (Монте Карло методи) се основават на симулация на случайни величини и случайни процеси. Те имат проста конструкция и често се използват за моделиране на процеси, чието поведение може да бъде оценено само в стохастичен смисъл.

Квази-Монте Карло методите са детерминистични числени методи, които използват редица с малък дискрепанс (квазислучайни редици) за оценка.

Рандомизираните квази-МонтеКарло методи използват рандомизирани редици с малък дискрепанс и комбинират предимствата на Монте Карло методите и квази-Монте Карло методите.

Прилагането на Монте Карло метод включва няколко етапа:

- преформулиране на задачата
- дефиниране на случайна величина или случаен процес, чието математическо очакване съвпада с търсеното решение
- приближена оценка на статистическите характеристики (дисперсия, очакване)

Без ограничение на общността, разглеждаме интеграл от функция  $f$  върху  $s$ -мерния единичен куб  $[0, 1]^s$ . Интегралът на функцията  $f \cdot q$  може да интерпретираме като очакване от  $f(X)$ , като случайната величина  $X$  има плътност на разпределение  $q$ .

$$I(f) = \mathbb{E}(f(X)) = \int_{[0,1]^s} f(x)q(x)dx \quad (1.1)$$

В обикновения Монте Карло алгоритъм генерираме  $N$  реализации на случайната величина  $X: x_1, \dots, x_N$ , с разпределение  $q$ . Оценката за  $I$  тогава е

$$\hat{I}(f) = \hat{I}_N = \frac{1}{N} \sum_{i=1}^N f(x_i) \quad (1.2)$$

Силният закон за големите числа ни дава

$$\mathbb{P}\left(\lim_{N \rightarrow \infty} \hat{I}_N = I\right) = 1 \quad (1.3)$$

Редът на сходимост при такъв подход е  $O(N^{-1/2})$ , което може да е значително по-бавно от други методи. Действително, ако  $f$  има крайна дисперсия  $\sigma^2 = \text{Var}(f(x))$ , то

$$\mathbb{E}\left((\hat{I}_N - I)^2\right) = \frac{\sigma^2}{N}$$

В много ситуации фактът, че с един и същи Монте Карло алгоритъм могат да се решат различни варианти на една задача надделява над допълнителното време нужно за изчисления.

Квази-Монте Карло методите се различават от обикновените Монте Карло методи по това, че при генерирането на извадката на случайната величина не се ползва генератор на псевдослучайни числа, а генератор на квазислучайни числа. Това подобрява реда на асимптотичната грешка до  $O(N^{-1}(\log N)^s)$ , където  $s$  е размерността на задачата (вж. глава 5 на [20]).

В настоящата дипломна работа ще представя приложение на Монте Карло алгоритмите за намиране на екстремални собствени стойности. Приложението на Монте Карло и квази-Монте Карло алгоритми са описани от А. Караиванова [12]. Настоящата работа има за цел да разшири изследването с алгоритъм, който ползва рандомизирани квазислучайни числа.

Глава 2 е въведение в квазислучайните редици. В глава 3 е представен метода на степенната итерация за намиране на собствени стойности с Монте Карло стъпки. Описание на използваните библиотеки и написан код, като и резултатите от експеримента са описани в глава 4. В остатъка от тази глава ще опиша задачата за намиране на собствени стойности и методи за решаването ѝ.

## 1.1 Намиране на собствени стойности

Много задачи от най-различни сфери могат да бъдат сведени до намирането на собствените стойности и вектори на някоя матрица  $A \in \mathbb{C}^{n \times n}$ . Собствените стойности ще означаваме с  $\lambda_k$ , а съответните собствени вектори с  $x^{(k)}$ :

$$Ax^{(k)} = \lambda_k x^{(k)}, \text{ за } k = 1, \dots, n$$

За намирането на собствените стойности на малка матрица се позват методи базирани на факторизацията на матрици, например QR -алгоритъма. Тъй като факторизацията изисква  $O(n^3)$  операции (вж. например [8]) те не са подходящи за големи матрици.

Ако матрицата  $A$  е много голяма, ние рядко се интересуваме от всички собствени стойности. Често свойствата на системата, описана чрез матрицата, се определят от най-малката и най-голямата собствена стойност:  $\lambda_n$  и  $\lambda_1$ . Тези стойности определят и числото на обусловеност за нормална матрицата  $A$ :

$$\text{cond}(A) = \left| \frac{\lambda_1}{\lambda_n} \right|$$

### 1.1.1 Кратък обзор на Монте Карло Методите за собствени стойности

Въпреки че едни от първите публикации в областта на Монте Карло методите от 50-те и 60-те години на миналия век се отнасят за задачи на линейната алгебра [7], те не разглеждат намирането на собствени стойности.

Монте Карло методите за намиране на доминантната собствена стойност са предложени от Михайлов (1967) и Соболев (1973), а за най-малката – от Михайлов през 1987.

Степенният метод с Монте Карло итерация е предложен от Димов и Караиванова в серия публикации през периода 1995-1998.

Първите работи в световната литература по приложение на квази-Монте Карло методи за намиране на екстремални собствени стойности са на Караиванова и Маскани в периода 2001-2002.

### 1.1.2 Степенен метод

Ще разгледаме степенния метод за определяне на най-голямата собствена стойност и собствен вектор съответстващ на тази стойност. Този метод, както и други методи за намиране на собствени стойности могат да бъдат намерени в Golub и Loan [8]. Основния резултат на алгоритъма се съдържа в следната теорема:

**Теорема 1** *Нека  $A \in \mathbb{C}^{n \times n}$  е такава, че*

- 1.  $A$  има  $n$  линейно независими собствени вектора  $x^{(k)}$ , съответстващи на собствени стойности  $\lambda_k$ ,  $k = 1, \dots, n$ .*
- 2. собствените стойности удовлетворяват неравенствата*

$$|\lambda_1| > |\lambda_2| \geq |\lambda_3| \geq \dots \geq |\lambda_{n-1}| \geq |\lambda_n|$$

*Ако  $y_0 \in \mathbb{C}^n$  е начален вектор с представяне*

$$y_0 = \sum_{k=1}^n a_k x^{(k)}$$

*като  $a_1 \neq 0$ , тогава за  $y_{l+1} = Ay_l$ ,  $l = 0, 1, 2, \dots$ , имаме*

$$\lim_{l \rightarrow \infty} \frac{A^l y_0}{\lambda_1^l} = c x^{(1)}$$

*за някое  $c \neq 0$ . Означавайки скаларното произведение в  $\mathbb{C}^n$  с  $\langle x, y \rangle = x^H y$  имаме*

$$\lim_{l \rightarrow \infty} \frac{\langle h, A^l y_0 \rangle}{\langle h, A^{l-1} y_0 \rangle} = \lambda_1 \quad (1.4)$$

Тъй като  $y_l = A^l y_0$  и  $A^l x^{(k)} = \lambda_k^l x^{(k)}$

$$y_l = a_1 \lambda_1^l x^{(1)} + \sum_{k=2}^n a_k \lambda_k^l x^{(k)}$$

давайки

$$\begin{aligned}\frac{y_l}{\lambda_1^l} &= a_1 x^{(1)} + \sum_{k=2}^n a_k \left(\frac{\lambda_k}{\lambda_1}\right)^l x^{(k)} \\ &= a_1 x^{(1)} + O\left(\left(\frac{\lambda_2}{\lambda_1}\right)^l\right)\end{aligned}\quad (1.5)$$

Понеже

$$1 > \left|\frac{\lambda_2}{\lambda_1}\right| \geq \left|\frac{\lambda_3}{\lambda_1}\right| \geq \dots \geq \left|\frac{\lambda_n}{\lambda_1}\right|$$

Сходимостта е доминирана от члена  $\frac{\lambda_2}{\lambda_1}$ . Следователно имаме

$$\lim_{l \rightarrow \infty} \frac{A^l y_0}{\lambda_1^l} = a_1 x^{(1)}$$

За да докажем второто твърдение, забелязваме, че тъй като  $y_l = \sum_{k=1}^n a_k \lambda_k^l x^{(k)}$  имаме

$$\begin{aligned}\langle h, A^l y_0 \rangle &= \sum_{k=1}^n a_k \lambda_k^l \langle h, x^{(k)} \rangle \\ \frac{\langle h, A^l y_0 \rangle}{\langle h, A^{l-1} y_0 \rangle} &= \frac{a_1 \lambda_1^l \langle h, x^{(1)} \rangle + \sum_{k=2}^n a_k \lambda_k^l \langle h, x^{(k)} \rangle}{a_1 \lambda_1^{l-1} \langle h, x^{(1)} \rangle + \sum_{k=2}^n a_k \lambda_k^{l-1} \langle h, x^{(k)} \rangle} \\ &= \lambda_1 \left( \frac{a_1 \langle h, x^{(1)} \rangle + \sum_{k=2}^n a_k \left(\frac{\lambda_k}{\lambda_1}\right)^l \langle h, x^{(k)} \rangle}{a_1 \langle h, x^{(1)} \rangle + \sum_{k=2}^n a_k \left(\frac{\lambda_k}{\lambda_1}\right)^{l-1} \langle h, x^{(k)} \rangle} \right) \\ &= \lambda_1 + O\left(\left(\frac{\lambda_2}{\lambda_1}\right)^l\right)\end{aligned}\quad (1.6)$$

От 1.5 виждаме, че

$$y_l = A^l y_0 \approx c \lambda_1^l x^{(1)}$$

Така  $y_l$  клони към  $x^{(1)}$  (с точност до умножение със скалар). Но ако  $|\lambda_1| > 1$ , то  $\|y_l\| \rightarrow +\infty$  при  $l \rightarrow \infty$ , доакто ако  $|\lambda_1| < 1$ , то  $\|y_l\| \rightarrow 0$ . Това води до числени проблеми при изчисляването на итерациите. За да преодолеем тази трудност, на всяка стъка ще скалираме вектора запазвайки нормата му константна, без значение каква норма сме избрали.

#### Алгоритъм 1: степенна итерация

```

 $y_0 := y_0 / \|y_0\|$     # нормализираме  $y_0$  до единична норма
 $l := 0$ 
повтаряй до сходимост
начало
     $z_{l+1} := A y_l$ 
     $y_{l+1} := z_{l+1} / \|z_{l+1}\|$ 
     $\lambda^{(l+1)} := \langle y_{l+1}, A y_{l+1} \rangle$ 
     $l := l + 1$ 
край

```



За съжаление нормализирането не е лесно постижимо при Монте Карло варианта на този алгоритъм, както ще видим в следващите глави.

Използвайки теорема 1, лесно се вижда, че  $y_l \rightarrow cx_1$  и  $\lambda^{(l)} \rightarrow \lambda_1$ .

Нека дефинираме  $A_\mu = A - \mu I$ , където  $I$  е единичната  $n \times n$  матрица и  $\mu$  е параметър на отместване. Нека  $A = S\Lambda S^{-1}$ , където  $\Lambda$  е Жордановата нормална форма на  $A$ . Тогава,

$$S^{-1}A_\mu S = \Lambda - \mu I$$

И  $A_\mu^{-1}$  има собствени стойности

$$\gamma_k = \frac{1}{\lambda_k - \mu}, \text{ for } k = 1, \dots, n$$

Прилагайки степенния метод към  $A_\mu^{-1}$  получаваме алгоритъм за намиране на собствения вектор и собствена стойност най-близки до  $\mu$ . Алгоритъмът често се нарича обратна итерация (*inverse iteration*).

#### Алгоритъм 2: обратна итерация

```

 $y_0 := y_0 / \|y_0\|$       # нормализираме  $y_0$  до единична норма
 $l := 0$ 
повтаряй до сходимост
начало
     $A_\mu z_{l+1} := y_l$ 
     $y_{l+1} := z_{l+1} / \|z_{l+1}\|$ 
     $\gamma^{(l+1)} := \langle y_{l+1}, Ay_{l+1} \rangle$ 
     $l := l + 1$ 
край

```

Нека разгледаме изчислителната сложност на двата алгоритъма. Ако са необходими  $k$  итерации, то сложността на обикновения степенен метод е  $O(kn^2)$ , а на обратния е  $O(n^3 + kn^2)$ . Изчислителната сложност на Монте Карло варианта е  $O(dm)$ , където  $d$  е средния брой на състояния във веригата, а  $m$  е броя на веригите.

### 1.1.3 Метод на Арнолди

Стандартният алгоритъм за намиране на собствени стойности и собствени вектори на големи разреждени матрици е метода на Арнолди. Повече информация може да бъде намерена в [8].

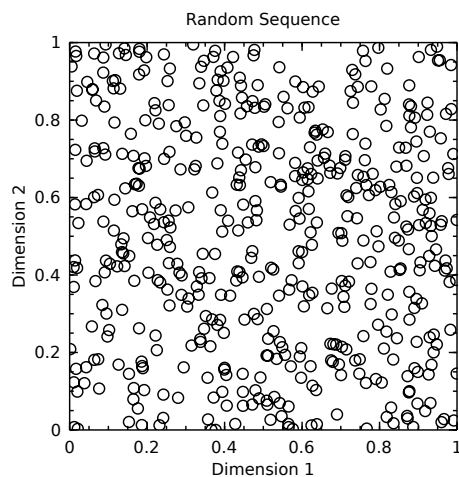
## Глава 2

# Разбъркани квазислучайни редици

Тази глава е въведение в квазислучайните редици. В част 2.1 въвеждаме основните понятия нужни за анализа на числови редици. Представени са няколко квазислучайни редици, включително редиците на Соболев, Холтърн и Фор. В глава 2.2 представяме техники за разбъркване на квази случайни редици.

### 2.1 Квазислучайни редици

Случайните и псевдослучайните числа имат свойството да се скупчват в определени области, докато други области остават незапълнени както може да се види на фигура 2.1. От друга страна, когато генерираме край-



Фигура 2.1: Двумерна равномерно разпределна случайна редица. Има големи незапълнени петна.

на извадка за нуждите на Монте Карло оценка, ние искаме точките да

покриват интегрируемата област възможно най-равномерно. В идеалния случай точките трябва да са равномерно разпределени във всеки паралелотоп в  $[0, 1]^s$ . При крайни извадки винаги можем да направим паралелотопите достатъчно фини, така че някои от тях да са празни. Степента на равномерно разпределение на числата на една редица е проблем, който е изучаван от Вейл [19], който пръв изследва равномерното разпределение. Kuipers и Niederreiter [14] обобщават тази теория. Мярката на това, колко равномерно са разпределени точките на една редица се нарича дискрепанс. Една от дефинициите за дискрепанс е така наречения *звезда-дискрепанс*

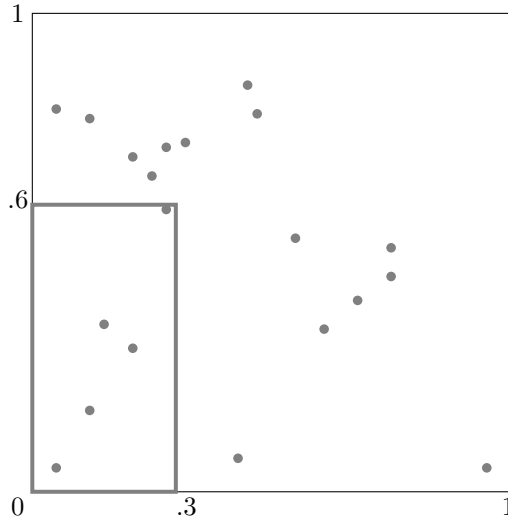
**Дефиниция 1** За всяка редица  $(x_i)_{i=1}^N \in [0, 1]^s$  с  $N$  елемента и множествата  $J(\nu) = [0, \nu_1) \times [0, \nu_2) \times \dots \times [0, \nu_s)$  дефинираме звезда-дискрепанс като

$$D_N^* = \sup_{0 \leq \nu_k < 1} \left| \frac{1}{N} \# \{x_i \in J(\nu)\} - \prod_{k=1}^s \nu_k \right| \quad (2.1)$$

**Дефиниция 2** Казваме, че редицата  $(x_i)$  има малък дискрепанс ако

$$D_N^* \leq C_s \frac{(\log(N))^s}{N}, \quad (2.2)$$

където  $C_s$  е константа, която зависи само от размерността  $s$ .



Фигура 2.2: На фигурата за изобразени 20 точки в единичния квадрат и кутията от  $(0, 0)$  до  $(0.3, 0.6)$ . Кутията има обем  $0.18$  и съдържа  $5/20 = 0.2$  от точките, следователно разликата е  $|0.18 - 0.2| = 0.02$ .

За  $x_k \in U[0, 1]^s$  равномерно разпределени в  $s$ -мерния единичен куб Chung [4] показва, че

$$\limsup_{N \rightarrow \infty} \frac{\sqrt{2N} D_N^*}{\sqrt{\log(\log(N))}} = 1, \text{ с вероятност } 1 \quad (2.3)$$

Така  $D_N^* = O(\sqrt{\log(\log(N))}/\sqrt{N})$ , което поради факта, че  $\log(\log(N))$  е почти константа,  $D_N^*$  има поведение като  $O(N^{-1/2})$ . Затова, редиците с малък дискрепанс представляват значително подобрение на равномерното разпределение. Предполага се, но не е доказано, че редици с дискрепанс  $D_N^* = o(\log(N)^s/N)$  не могат да бъдат конструирани.<sup>1</sup>

Има връзка между по-малкия дискрепанс и по-точното Монте Карло интегриране. Коксма доказва следното неравенство на Коксма-Хлавка в едномерния случай (1942), а Хлавка – в многомерния [10]:

$$\left| \frac{1}{N} \sum_{i=1}^N f(x_i) - I(f) \right| \leq V(f) D_N^* \quad (2.4)$$

където  $V(f)$  е пълната вариация на  $f$ , в смисъла на Харди и Краус. Просто и елегантно доказателство може да бъде намерено в Калфиш [3]. На практика това неравенство не е от особена практическа стойност, тъй като намирането на дискрепанса на една редица е трудно. Намирането на пълната вариация на една функция в общия случай е дори още по-трудно.

След като сме дефинирали нужните характеристики за описанието на квазислучайните числа, следва да построим няколко квазислучайни редици.

Един от най-простите генератори на квазислучайни числа е

$$x_k = \{k\alpha\}$$

Където  $\{u\} = u - [u]$  дробната част на  $u$ ,  $\alpha = (\alpha_1, \alpha_2, \dots, \alpha_s)$  и  $1, \alpha_1, \alpha_2, \dots, \alpha_s$  са линейно независими над полето на рационалните числа. Тази редица покрива единичния хиперкуб, както е показал Вейл [19].

За редици, които са периодични и достатъчно гладки добър избор на квазислучайна редица са решетки за интегриране. Те имат вида:

$$x_k = \left\{ \frac{k}{N} g \right\}, \quad k = 0, \dots, N-1 \quad (2.5)$$

където  $g = (g_1, \dots, g_s)$  е пораждащ вектор,  $\{\cdot\}$  е дробната част приложена по компонентите на вектора. Корабов [13] използва  $g = (1, a, a^2, \dots, a^{s-1}) \bmod N$  за  $1 \leq a \leq N-1$  и  $\text{НОД}(a, N) = 1$ .

Проблемът с интегралните решетки е, че периодичната им структура води до нежелани ефекти. В следващите секции ще представя квазислучайните редици на Соболев (Sobol) (1967, 1976), Холтън (Halton) (1960) и Фор (Faure) (1980).

### 2.1.1 Редица на Соболев

Нека двоичното представяне на  $k$  е

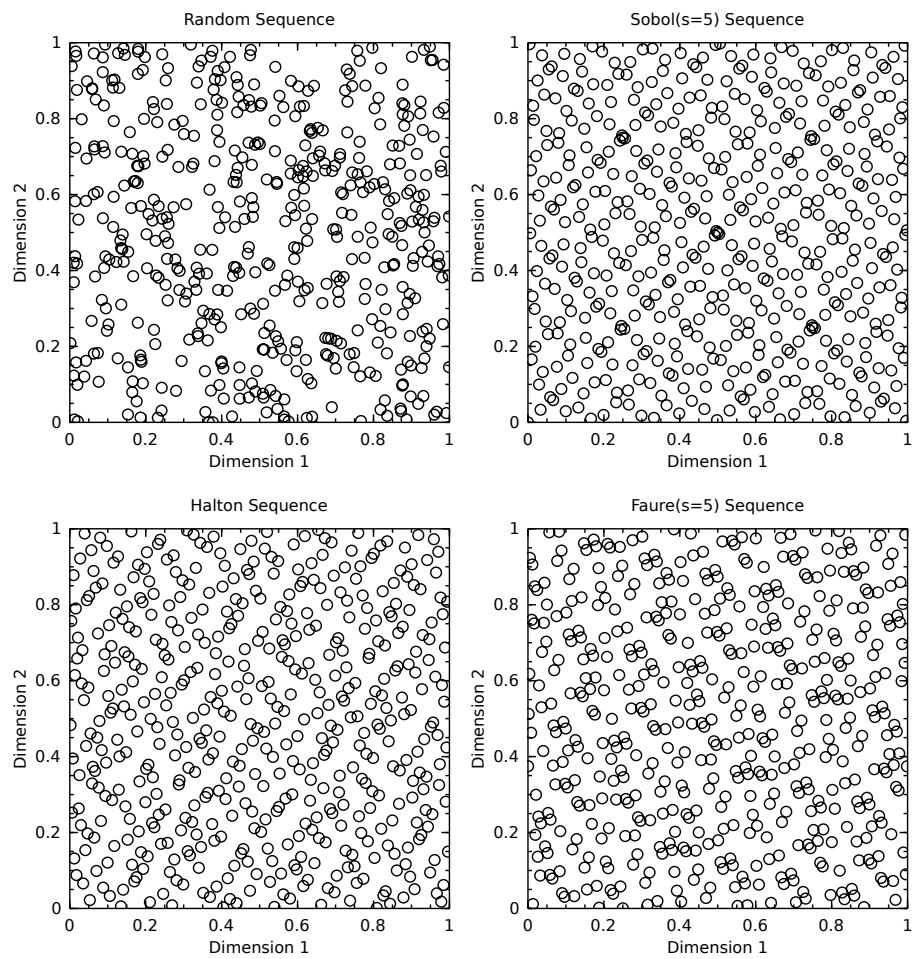
$$k = \sum_{j=1}^w b_j 2^{j-1} \quad (2.6)$$

Където  $b_j \in \{0, 1\}$ .  $i$ -тата координата на  $k$ -тата точка на редицата на Соболев се дефинира като

$$x_k^{(j)} = b_1 v_1^{(j)} \oplus b_2 v_2^{(j)} \oplus \dots \oplus b_w v_w^{(j)} \quad (2.7)$$

---

<sup>1</sup> вж. Beck и Chen [2]



Фигура 2.3: Проекция на първите две измерения на квазислучайните редици на Sobol, Halton и Faure.

Където  $\oplus$  е логическата операция изключващо или (XOR).  $v_i^{(j)}$  е двоична дроб наричана  $i$ -то направляващо число на  $j$ -тото измерение. За да получим  $v_i^{(j)}$  за всяко  $j \leq n$  избираме примитивен полином<sup>2</sup> над полето  $\mathbb{Z}_2$  от цели числа по модул 2 :

$$P_j(x) = x^{d_j} + a_1^{(j)}x^{d_j-1} + \dots + a_{d_j-1}^{(j)}x + 1 \quad (2.8)$$

След като сме избрали примитивен полином неговите коефициенти се използват да се дефинира  $v_i^{(j)}$  със зависимостта

$$v_i^{(j)} = a_1^{(j)}v_{i-1}^{(j)} \oplus a_2^{(j)}v_{i-2}^{(j)} \oplus \dots \oplus a_{d_j-1}^{(j)}v_{i-d_j+1}^{(j)} \oplus v_{i-d_j}^{(j)} \oplus \frac{v_i^{(j)}}{2^{d_j}}, \quad i > d_j \quad (2.9)$$

Ако дефинираме  $v_i^{(j)} = m_i^{(j)}/2^{d_j}$ , където  $m_i$  е нечетно цяло число и  $0 < m_i < 2^{d_j}$ , рекурентната връзка може да бъде записан като

$$m_i^{(j)} = 2a_1^{(j)}m_{i-1}^{(j)} \oplus 2^2a_2^{(j)}m_{i-2}^{(j)} \oplus \dots \oplus 2^{d_j-1}a_{d_j-1}^{(j)}m_{i-d_j+1}^{(j)} \oplus 2^{d_j}m_{i-d_j}^{(j)} \oplus m_i^{(j)}$$

Коеето включва само целочислени операции. Стойностите на  $m_1^{(j)}, m_2^{(j)}, \dots, m_d^{(j)}$  могат да бъдат произволно избрани стига да са нечетни и  $m_i^{(j)} < 2^I$ .

Има още един начин за конструиране на редиците на Соболю, който се основава на кодове на Грей. Редицата конструирана от Антонов и Салеев [1] има асимптотично същия дискрепанс като редицата на Соболю построена в (2.7).

$$x_n^{(j)} = g_1v_1^{(j)} \oplus g_2v_2^{(j)} \oplus \dots, \text{ for } j = 1, \dots, s \quad (2.10)$$

Където  $\dots g_3g_2g_1$  е двоичното представяне на  $k$  в код на Грей. Кодовете на Грей имат следните свойства:

1. Използвайки двоично представяне (2.6) кода на Грей на  $k$  е

$$\dots g_3g_2g_1 = \dots b_3b_2b_1 \oplus \dots b_4b_3b_2$$

2. Кодовете на Грей за  $k$  и  $k+1$  се различават само в една цифра. За да намерим коя е тази цифра, трябва да намерим най-дясната нула в двоичното представяне на  $k$ .

Ако използваме тези свойства може да видим, че за да изчислим  $x_{n+1}^{(j)}$  са ни нужни само XOR операции в 2.10 на позиция  $s$  където  $b_s$  е най-десния нулев бит на  $k$ .

$$x_{n+1}^{(j)} = x_n^{(j)} \oplus v_s^{(j)}, \text{ за } j = 1, \dots, s \quad (2.11)$$

За първата точка  $x_0 = 0$ . Сложността за конструиране на редица на Соболю с  $N$  точки е  $O(N(s + \log N))$ . Ако кешираме стойностите на направляващите вектори  $m_i$  или  $v_i$ , бихме спестили повтарящи се изчисления.

---

<sup>2</sup>един полином е примитивен ако коефициентите му имат най-голям общ делител равен на 1

### 2.1.2 Редица на Холтън

Нека  $b \geq 2$  е цяло число, тогава за всяко цяло число  $k \geq 0$  има единствено представяне при основа  $b$

$$k = \sum_{j=0}^{\infty} k_j b^j \quad (2.12)$$

Където  $k_j \in \mathbb{Z}_b$  за  $j \geq 0$  и  $k_j = 0$  за всички достатъчно големи  $j$ .

**Дефиниция 3** За всяко  $b \geq 2$  дефинираме обръщащата функция  $\Phi_b$  при степен  $b$  като

$$\Phi_b(k) = \sum_{j=0}^{\infty} k_j b^{-j-1}, \quad k \geq 0 \quad (2.13)$$

Където  $k$  представено като в 2.12.

Редицата  $x_k = \Phi_b(k)$  се нарича редица на ван дер Корпут (van der Corput) при основа  $b$ . През 1937 ван дер Корпут публикува тази редица при основа  $b = 2$ , което е първата построена квазислучайна редица [20].

Холтън [9] обобщава редицата за размерност  $s$ . Нека  $b_1, b_2, \dots, b_s$  са взаимно прости числа. Редица на Холтън при основи  $b_1, b_2, \dots, b_s$  е  $s$ -мерната редица  $x_0, x_1, \dots$  дефинирана чрез

$$x_k = (\Phi_{b_1}(k), \dots, \Phi_{b_s}(k)) \in [0, 1)^s \text{ за всяко } k \geq 0. \quad (2.14)$$

Следва векторизиран алгоритъм (на Python) със сложност  $O(sN \log N)$  за конструиране на редицата на Холтън.

#### Алгоритъм 3: редица на Холтън на Python

```
import numpy as np
def Phi(n, b):
    res = np.zeros(np.shape(b), np.float64)
    k = n*np.ones(np.shape(b), np.int32)
    bp = np.ones(np.shape(b), np.float64)
    while np.any(k>0):
        bp = bp/b
        a = k % b
        res += a*bp
        k = np.floor(k/b)
    return res
```

Редиците на Холтън могат да бъдат разширени по  $s$  и  $N$ . Само че те работят най-добре за малки прости числа  $b_j$  като основи, както може да се види на фигура 2.4.

$$\begin{aligned}
x_0 &= (0.0000, 0.0000, 0.0000) \\
x_1 &= (0.5000, 0.3333, 0.2000) \\
x_2 &= (0.2500, 0.6667, 0.4000) \\
x_3 &= (0.7500, 0.1111, 0.6000) \\
x_4 &= (0.1250, 0.4444, 0.8000) \\
x_5 &= (0.6250, 0.7778, 0.0400) \\
x_6 &= (0.3750, 0.2222, 0.2400) \\
x_7 &= (0.8750, 0.5556, 0.4400) \\
x_8 &= (0.0625, 0.8889, 0.6400) \\
x_9 &= (0.5625, 0.0370, 0.8400)
\end{aligned}$$

Таблица 2.1: Първите 10 точки от 3-измерната редица на Холтън  $x_k = (\Phi_2(k), \Phi_3(k), \Phi_5(k))$  при основи  $b = (2, 3, 5)$

### 2.1.3 Редица на Фор

Лошото разпределение при големи прости числа за основи на редицата на Холтън може да бъде преодоляно до известна степен, ако се ползва пермутация на Фор [6]. Нека  $b \geq 2$  е цяло число и  $k$  има представяне при основа  $b$

$$k = \sum_{j=0}^w k_j b^j$$

Нека дефинираме функцията

$$\Phi_b(\mathbf{k}) = \frac{k_0}{b} + \frac{k_1}{b^2} + \dots + \frac{k_w}{b^w}$$

Където  $\mathbf{k} = (k_0, k_1, \dots, k_w)^T$ .  $k$ -тият елемент на редицата на Фор се дефинира като

$$x_k = (\Phi_b(P^0 \mathbf{k}), \Phi_b(P^1 \mathbf{k}), \dots, \Phi_b(P^{s-1} \mathbf{k}))$$

Където  $b$  е просто число по-голямо или равно на  $s$ ;  $P^l$  е матрицата на Паскал повдигната на  $l$ -степен и взет модул  $b$  поелементно:  $P(i, j) = \binom{i-1}{j-1} \mod b$  и  $P^l(i, j) = l^{j-i} \binom{i-1}{j-1} \mod b$ . Времето за изчисление на една точка на Фор е  $O(s(\log N)^2)$ .

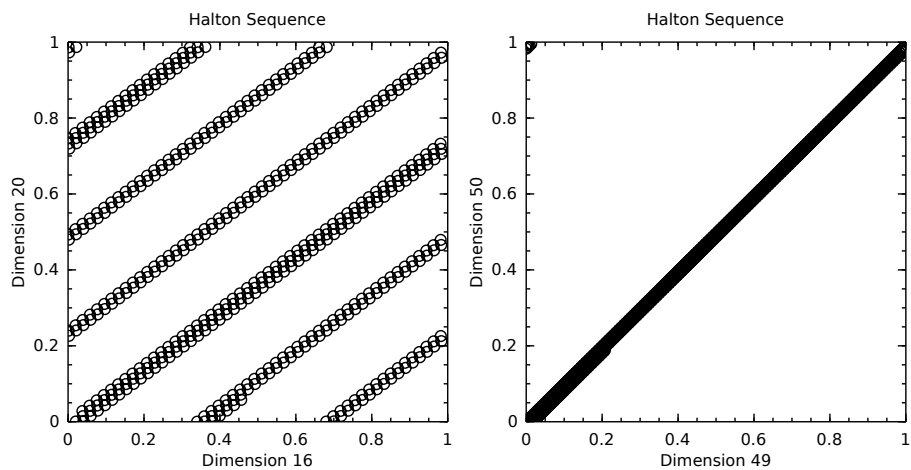
### 2.1.4 $(t, m, s)$ -мрежи и $(t, s)$ -редици

Цифровите мрежи предоставят по-задоволително обобщение на обръщащите функции за размерности  $s \geq 2$ . Нека дефинираме  $s$ -измерен елементарен интервал при основа  $b$

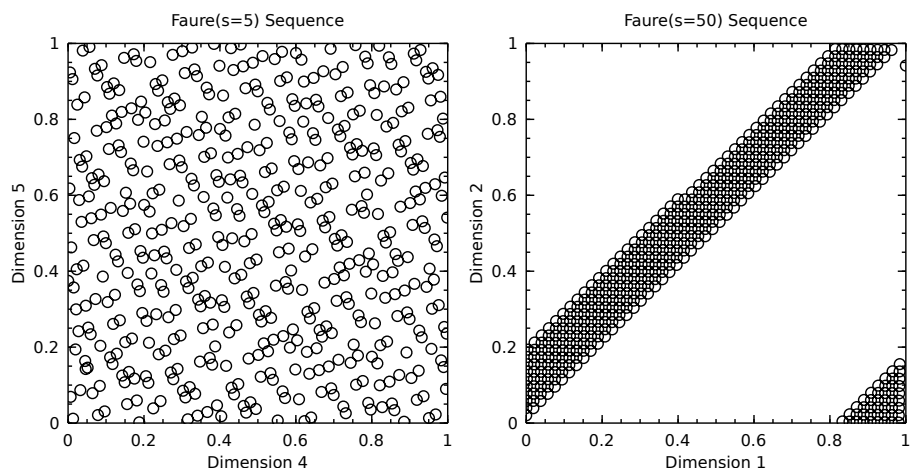
$$\prod_{j=1}^s \left[ \frac{l_j}{b^{k_j}}, \frac{l_j + 1}{b^{k_j}} \right) \quad (2.15)$$

За цели числа  $k_j \geq 0$  и  $0 \leq l_j < b^{k_j}$ . Този елементарен интервал има обем  $b^{-K}$  където  $K = k_1 + \dots + k_s$ . В идеалния случай искаме да имаме  $nb^{-K}$





Фигура 2.4: Редицата на Холтън показва значителна корелация при големите размерности



Фигура 2.5: Ниско размерна (в ляво) и високо размерна (в дясно) редица на Фор. Високо размерната редица отново показва значителна корелация.

на брой точки във всеки такъв интервал. Числовите мрежи удовлетворяват това, поне за достатъчно малки  $K$ .

**Дефиниция 4** Нека  $b \geq 2$  целочислена основа и  $m \geq t \geq 0$  е цяло число.  $(t, m, s)$ -мрежа при основа  $b$  наричаме крайна редица  $x_1, \dots, x_{b^m}$ , за която всеки елементарен интервал при основа  $b$  и с обем  $b^{t-m}$  съдържа точно  $b^t$  на брой точки от редицата.

Обобщението на безкрайни редици се получава чрез дефиницията за цифрова редица.

**Дефиниция 5**  $(t, s)$ -редица при основа  $b$  е безкрайна редица  $(x_i)_{i=1}^{\infty}$  такава, че за всички цели числа  $r \geq 0$  и  $m \geq t$ , точките  $x_{rb^m+1}, \dots, x_{(r+1)b^m}$  образуват  $(t, m, s)$ -мрежа при основа  $b$ .

Следователно  $(t, s)$ -редиците могат да бъдат представени като безкрайна последователност от  $(t, m, s)$ -мрежи за всички  $m \geq t$ .

За  $m \geq t$  и  $1 \leq \lambda < b$ , първите  $\lambda b^m$  на брой точки от  $(t, s)$ -редица са балансирани по отношение на всички елементарни интервали при основа  $b$  и с обем  $b^{t-m}$  или по-голям.

Ако редицата  $(x_i)$  е  $(t, s)$ -редица, то тя има малък дискрепанс, както е показъл Нийдерийтер (Niederrieter) [15]. При някои условия и трите квазислучайни редици конструирани по-рано са  $(t, s)$ -редици:

- редицата на Соболев е  $(t, s)$ -редица, ако примитивните полиноми 2.8 са различни и

$$t = \sum_{j=1}^s (\deg(P_j) - 1)$$

Следователно, колкото по-малка е степента на полиномите, толкова по-добре.

- редицата на Фор е  $(0, s)$ -редица ако основата е просто число  $b \geq s$ .

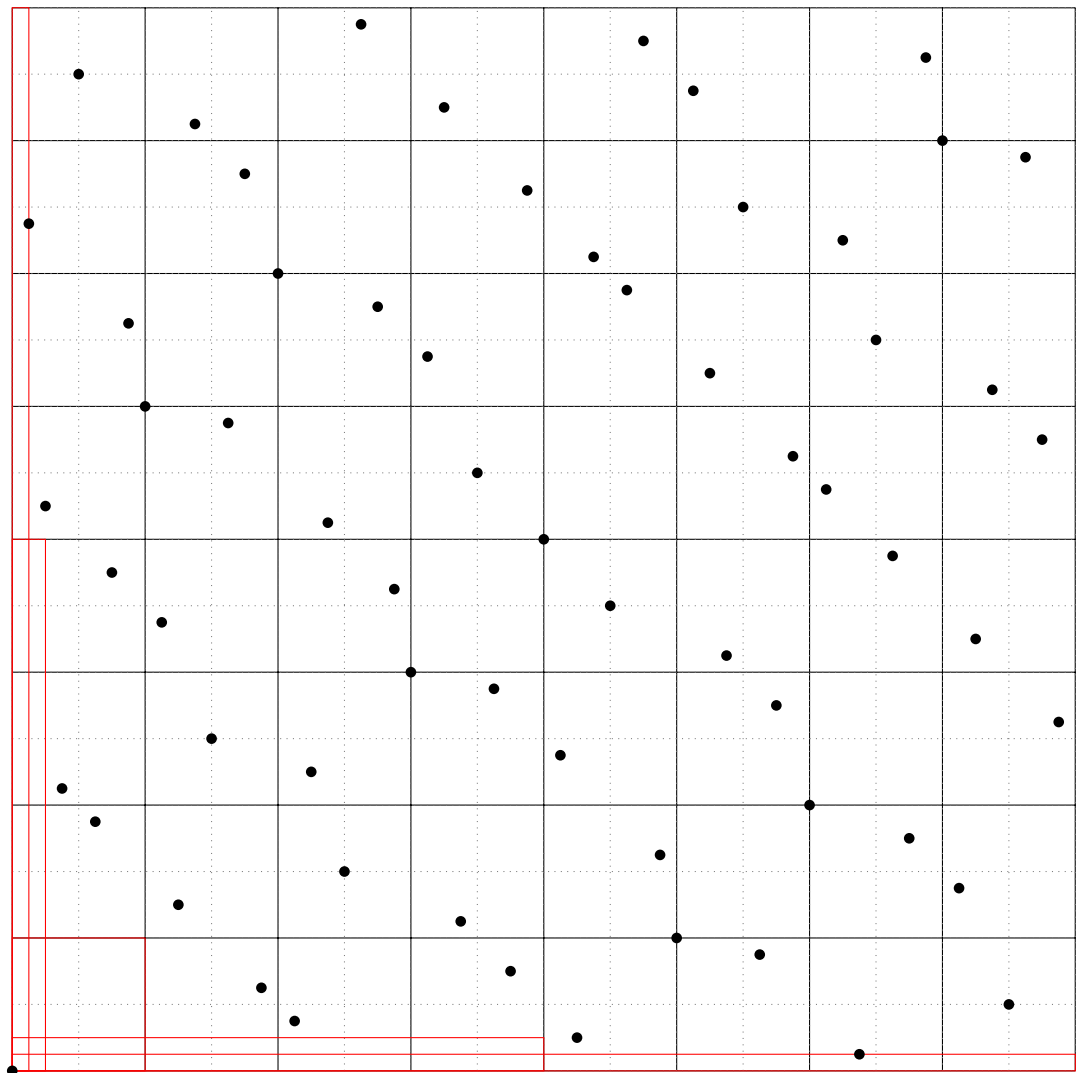
## 2.2 Разбъркани квазислучайни числа

Както вече видяхме, високоразмерните квазислучайни редици имат силно корелирани точки върху нискоразмерни подпространства (фиг. 2.5). За да преодолеем този ефект, взимаме квазислучайната редица  $(a_i)$  и трансформираме точките ѝ в случайни точки  $(x_i)$  така, че  $x_i$  да запазят някои от свойствата на първоначалната квазислучайна редица и очакването на  $\hat{I}$  да е равно на  $I$ . С рандомизираните квази-Монте Карло методи можем да проведем  $R$  независими симулации получавайки оценки  $\hat{I}_1, \dots, \hat{I}_R$ . Комбинираната оценка  $\hat{I} = R^{-1} \sum_{r=1}^R \hat{I}_r$  има математическо очакване  $I$ . Неизменена оценка за средната квадратична грешка (mean-squared error (MSE)) за  $\hat{I}$  е

$$MSE(\hat{I}) = \frac{1}{R(R-1)} \sum_{r=1}^R (\hat{I}_r - \hat{I})^2$$

За рандомизирането на квазислучайни редици има два основни подхода. Cranley и Patterson [5] предлагат ротация със случайно число по модул 1:

$$z_k = x_k + r \mod 1$$



Фигура 2.6: Първите 64 точки от редицата на Соболев. Те образуват  $(2,2)$ -мрежа. Червените правоъгълници са елементарни интервали при основа 2, закрепени за началото на координатната система. Когато транслираме червените правоъгълници получаваме всички елементарни интервали споменати в дефиницията.

Където  $x_k$  е квазислучайно число в  $[0, 1)^s$  и  $r$  е  $s$ -мерна равномерно разпределена случайна величина. Различните  $r$  дават различни реализации  $(z_k)$  на първоначалната редица  $(x_k)$ . Tuffin [18] предложил тези ротации да бъдат приложени към цифрови мрежи. Те загубват свойството си да бъдат мрежи, но все пак изглеждат равномерни.

Вторият подход е базиран на пермутации.

## Схема на Оуен за разбъркване

Оуен [16] предлага схема за рандомизиране на произволни квазислучайни редици и точкови множества. Разглеждаме редица  $(x_n)$ ,  $x_n = (x_n^{(i)})_{i=1}^s$ , като  $i$ -тата компонента на  $n$ -тия елемент има представяне при основа  $b$   $x_n^{(i)} = \sum_{j=1}^{\infty} x_{n,j}^{(i)} b^{-j}$ . А за рандомизираната точка полагаме  $z_n^{(i)} = \sum_{j=1}^{\infty} z_{n,j}^{(i)} b^{-j}$ , като  $z_{n,j}^{(i)}$  са случайни пермутации на  $x_{n,j}^{(i)}$ .

$$\begin{aligned} z_{n,1}^{(i)} &= \pi_i(x_{n,1}^{(i)}) \\ z_{n,2}^{(i)} &= \pi_{i,x_{n,1}^{(i)}}(x_{n,2}^{(i)}) \\ z_{n,3}^{(i)} &= \pi_{i,x_{n,1}^{(i)},x_{n,2}^{(i)}}(x_{n,3}^{(i)}) \\ &\dots \\ z_{n,k}^{(i)} &= \pi_{i,x_{n,1}^{(i)},x_{n,2}^{(i)},\dots,x_{n,k-1}^{(i)}}(x_{n,k}^{(i)}) \end{aligned}$$

Всяка от пермутациите  $\pi$  е равномерно разпределена измежду  $b!$  пермутации на  $\{0, 1, \dots, b-1\}$  и пермутациите са взаимно независими. Този метод е труден за практично изпълнение, за това се ползват опростени варианти.

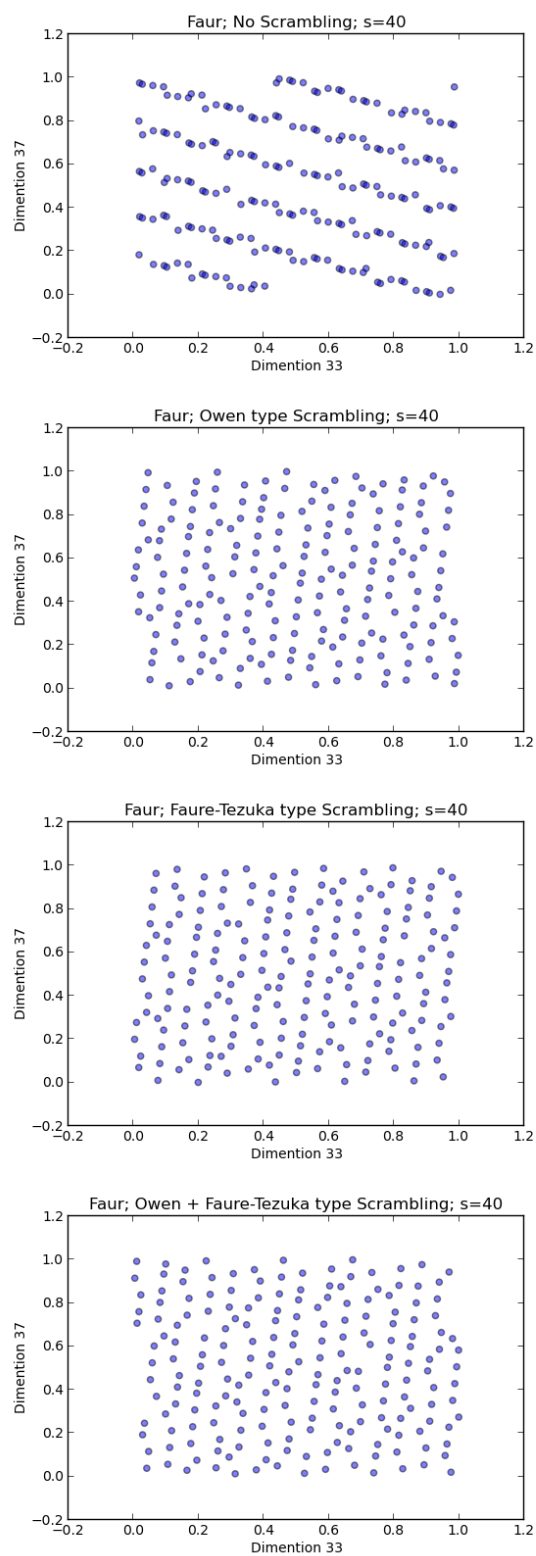
## Обобщена редица на Фор

Обобщената редица на Фор е предложена от Тезука, като за размерност  $j$  генераторната матрица има вида  $C^{(j)} = A^{(j)} P^{j-1}$ , където  $A^{(j)}$  за  $j = 1, \dots, s$  са произволни неособени долно триъгълни матрици.

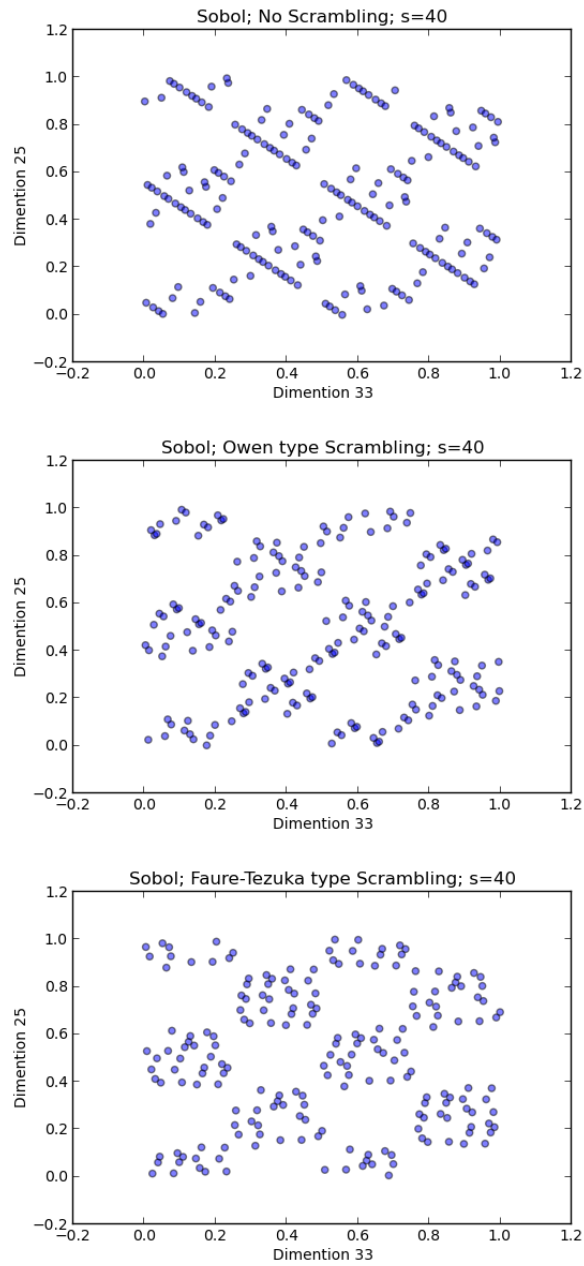
За числените експерименти ще използваме разбъркване на Оуен и на Тезука, както и хибриден вариант между двата метода. На фигура 2.7 се вижда ефектът от разбъркването за преодоляване на корелацията при голяма размерност на редицата.

## Разбъркване на редицата на Собол

За редицата на Собол може да се приложат гореописаните методи за разбъркване. Ефектът от разбъркването може да бъде видян на фигура 2.8.



Фигура 2.7: Разбъркване на редицата на Фор



Фигура 2.8: Разбъркване на редицата на Соболев

## Глава 3

# Степенен метод с Монте Карло итерации

В тази секция ще представя Монте Карло алгоритъм базиран на степенния метод (power method), описани в секция 1.1.2 на страница 5.

Както е обелязано в [12] Монте Карло алгоритмите в линейната алгебра са подходящи за големи разреждени матрици.

Поради естеството на алгоритъма най-удачно е матриците да се съхраняват в редови формат, наричан още *a,ja,ia* схема<sup>1</sup> (Duff, 1986).

За да приложим Монте Карло алгоритъм ще третираме оригиналната матрица  $A \in \mathbb{R}^{n \times n}$ , след подходяща нормализация, като матрица на Марковска верига. Нека конструираме следната матрица

$$P(i, j) = \mathbb{P}(X_t = j | X_{t-1} = i) = \frac{|A(i, j)|}{\sum_{k=1}^n |A(i, k)|} \quad (3.1)$$

Тук  $X_t$  е дискретна случайна величина за  $t = 0, 1, \dots$ . За стартовия вектор използваме разпределение

$$p(i) = \mathbb{P}(X_0 = i) = \frac{|h(i)|}{\sum_{j=1}^n |h(j)|} \quad (3.2)$$

Нека сега дефинираме случайната величина  $Y_t$  използвайки следната рекурсивна формула:

$$Y_0 = \frac{h(X_0)}{p(X_0)}, \quad Y_t = Y_{t-1} \frac{A(X_{t-1}, X_t)}{P(X_{t-1}, X_t)}, \quad t = 1, 2, \dots, m \quad (3.3)$$

Може да се покаже, че

$$\langle h, A^m f \rangle = \mathbb{E}(Y_m f(X_m)) \quad (3.4)$$

Действително

$$Y_m = \frac{h(X_0)A(X_0, X_1)A(X_1, X_2) \dots A(X_{m-1}, X_m)}{p(X_0)P(X_0, X_1)P(X_1, X_2) \dots P(X_{m-1}, X_m)}$$

---

<sup>1</sup> това включва скаларен масив  $a(1 : nz)$  съдържащ ненулевите елементи на матрицата, съхранявани по редове, целочислен масив  $ja(1 : nz)$  съдържащ колоната на съответния елемент в матрицата и целочислен масив  $ia(1 : n + 1)$ ,  $i$ -тия елемент, на който сочи към началото на масивите и  $ja$  на последователните редове.

Използвайки условна вероятност на  $X_m = i_m, X_{m-1} = i_{m-1}, \dots, X_0 = i_0$  и използвайки формулата за повторно очакване получаваме

$$\begin{aligned} & \mathbb{E}(Y_m f(X_m)) \\ &= \sum_{i_0=1}^n \cdots \sum_{i_m=1}^n \frac{h(i_0)A(i_0, i_1) \cdots A(i_{m-1}, i_m)}{p(i_0)P(i_0, i_1) \cdots P(i_{m-1}, i_m)} f(i_m) p(i_0) P(i_0, i_1) \cdots P(i_{m-1}, i_m) \\ &= \sum_{i_0=1}^n \cdots \sum_{i_m=1}^n h(i_0)A(i_0, i_1) \cdots A(i_{m-1}, i_m) f(i_m) \\ &= \langle h, A^m f \rangle \end{aligned}$$

За да формулираме метода на обратната итерация (inverse iteration) с Монте Карло стъпки използвайки (3.4) имаме

$$\langle h, (I - \mu A)^{-m} f \rangle = \mathbb{E} \left( \sum_{i=0}^{\infty} \binom{i}{m+i-1} \mu^i Y_i f(X_i) \right) \quad (3.5)$$

Тъй като  $|\mu\lambda| < 1$  можем да развием  $(I - \mu A)^{-m} = \sum_{i=0}^{\infty} \binom{i}{m+i-1} \mu^i A^i$ .

Ще разгледаме следните Монте Карло версии на степенния метод, които се базират на (1.4) и (3.4)

1. обикновения степенен метод (алгоритъм 1) с Монте Карло итерации за намиране на най-голямата собствена стойност

$$\lambda_{\max} \approx \frac{\mathbb{E}(Y_i f(X_i))}{\mathbb{E}(Y_{i-1} f(X_{i-1}))}$$

2. обратния степенен метод с Монте Карло итерации за намиране на най-малката собствена стойност

$$\lambda_{\min} \approx \frac{\mathbb{E} \left( \sum_{i=0}^L \binom{i}{m+i-1} Y_{i+1} f(X_{i+1}) \right)}{\mathbb{E} \left( \sum_{i=0}^L \binom{i}{m+i-1} Y_i f(X_i) \right)}$$

3. обратна итерация с изместване за намиране на собствена стойност  $\lambda$  най-близо до измествания параметър  $\mu$

$$\lambda \approx \frac{\mathbb{E} \left( \sum_{i=0}^L \binom{i}{m+i-1} \mu^i Y_{i+1} f(X_{i+1}) \right)}{\mathbb{E} \left( \sum_{i=0}^L \binom{i}{m+i-1} \mu^i Y_i f(X_i) \right)}$$

Като сме отрязали безкрайния ред (3.5) до  $L$ -тия член.

### 3.1 Степенният метод и квази-Монте Карло методите

За да свържем теорията представена в глава 2 и приближенията представени в тази глава, ще покажем, че изчисляването на  $\langle h, A^i f \rangle$  е еквивалентно



на намирането на  $(i+1)$ -размерен интеграл, както е описано от Караиванова в [12]. Така можем да проведем анализ на грешката, използвайки граници за числено интегриране като неравенството на Коксма-Хлавка 2.4. Действително, нека дефинираме  $G_i = [\frac{i-1}{n}, \frac{i}{n})$  за  $i = 1, \dots, n$ ,  $f(x) = f(i)$  и  $h(x) = h(i)$  за  $x \in G_i$ ,  $A(x, y) = A(i, j)$  за  $x \in G_i$  и  $y \in G_j$ . Следователно имаме

$$\begin{aligned} \int_0^1 \int_0^1 h(x)A(x, y)f(y)dx dy &= \sum_{i=1}^n \sum_{j=1}^n \int_{G_i} \int_{G_j} h(i)A(i, j)f(j)dx dy \\ &= \sum_{i=1}^n \sum_{j=1}^n h(i)A(i, j)f(j) \int_{G_i} \int_{G_j} dx dy \\ &= \sum_{i=1}^n \sum_{j=1}^n h(i)A(i, j)f(j) \frac{1}{n^2} \\ &= \frac{1}{n^2} \langle h, Af \rangle \end{aligned}$$

Нека  $(x_k, y_k)$  е редица от  $N$  точки в  $[0, 1]^2$ , тогава

$$\begin{aligned} \frac{1}{N} \sum_{k=1}^N h(x_k)A(x_k, y_k)f(y_k) &= \frac{1}{N} \sum_{G_i \times G_j} \left( \sum_{(x_k, y_k) \in G_i \times G_j} h(x_k)A(x_k, y_k)f(y_k) \right) \\ &= \frac{1}{N} \sum_{i=1}^n \sum_{j=1}^n h(i)A(i, j)f(j) \# \{(x_k, y_k) \in G_i \times G_j\} \end{aligned}$$

Следователно разликата между скаларното произведение и неговата оценка става

$$\begin{aligned} \left| \frac{1}{n^2} \langle h, Af \rangle - \frac{1}{N} \sum_{k=1}^N h(x_k)A(x_k, y_k)f(y_k) \right| &\leq \sum_{i=1}^n \sum_{j=1}^n |h(i)A(i, j)f(j)| D_N^* \\ &= |h|^T |A| |f| D_N^*, \end{aligned}$$

където  $|\cdot|$  е приложен покомпонентно за матрицата  $A$  и векторите  $h$  и  $f$ .

Аналогично, взимайки  $\langle h, A^l f \rangle$  може да използваме  $l+1$  размерна редица

$$\left| \frac{1}{n^{l+1}} \langle h, A^l f \rangle - \frac{1}{N} \sum_{k=1}^N h(x_k)A(x_k, y_k) \dots A(z_k, w_k)f(w_k) \right| \leq |h|^T |A|^l |f| D_N^*$$

Нека  $A$  е разрежена матрица с  $d_i$  ненулеви елемента на ред  $i$ . Следното изображение отговаря на метода на съществена извадка (importance sampling).

$$G_i = \left[ \frac{\sum_{j=1}^{i-1} |A(i, j)|}{\sum_{j=1}^n |A(i, j)|}, \frac{\sum_{j=1}^i |A(i, j)|}{\sum_{j=1}^n |A(i, j)|} \right), \quad i = 1, \dots, n$$

В този случай след подобни изчисления може да докажем, че горна граница за грешката се дава чрез

$$\left| \frac{1}{n^{l+1}} \langle h, A^l f \rangle - \frac{1}{N} \sum_{k=1}^N h(x_k)A(x_k, y_k) \dots A(z_k, w_k)f(w_k) \right| \leq (d|A|)^l D_N^*,$$

където  $d$  е средния брой ненулеви елементи на матрицата  $A$  за ред. Ако използваме  $(l + 1)$  размерна редица с малък дискрепанс и  $A$  е разрежена ( $d \ll n$ ), то горната оценка е от ред  $O((\log(N))^l/N)$ .

### 3.1.1 Балансиране на грешката и сложност

Сходимостта на методите описани в тази глава зависят от два фактора:

1. систематична грешка идваща от степенния метод (1.6)

$$\text{за обикновения степенен метод: } O\left(\left|\frac{\lambda_2}{\lambda_1}\right|^m\right)$$

$$\text{за обратния степенен метод: } O\left(\left|\frac{\lambda_n}{\lambda_{n-1}}\right|^m\right)$$

$$\text{за } \mu\text{-изместената обратна итерация: } O\left(\left|\frac{\lambda_1 - \mu}{\lambda_2 - \mu}\right|^m\right)$$

2. стохастична грешка описана в миналата част:

$$\text{за псевдослучайна редица: } O(N^{-1/2})$$

$$\text{за редица с малък дискрепанс: } O((\log(N))^s/N)$$

Сумирането на тези два члена дават грешката на метода. Постигането на твърде много точност в едното събираемо не гарантира по-добро поведение, ако другото събираемо дава голяма грешка. За това е добре да се стремим да балансираме двете грешки да са от един порядък.

## Глава 4

# Числени експерименти

### 4.1 Използвани технологии и библиотеки

#### Python, NumPy, SciPy, mpi4py

Основната част от програмирането е извършено на езика Python. Използвани са широко разпространените библиотеки NumPy и SciPy ([11]). Използвал съм библиотеката за разреждени матрици `scipy.sparse`. Там може да бъде намерен и порт на ARPACK за Python. ARPACK е имплементация на алгоритъма на Арнолди за намиране на собствени стойности и вектори написана на Fortran. NumPy и SciPy са стандартът за извършване на числени експерименти на Python.

При написването на скрипта използвах библиотеката `mpi4py`, която предоставя интерфейса на MPI за Python. Така се възползвах от тривиално паралелизиране на алгоритъма при провеждане на поредица от симулации.

#### Fortran, f2py

Генераторите на квазислучайни числа ми бяха предоставени от проф. Анета Караиванова, които са публикувани в Transactions on Mathematical Software, том 14, No. 1, стр.88. Кода е написан на Fortran 77. С цел да се улеснят числените експерименти използвах програмта *f2py*, която е част от SciPy. *f2py* компилира кода на Fortran до споделена библиотека, която може да бъде извиквана от Python. Понеже библиотеката се компилира до машинен код, скоростта на функциите в библиотеката е същата като на програма написана изцяло на компилиран език.

#### IPython

В последните години интерактивните възможности на IPython [17] са напреднали значително. Особено внимание трябва да се отдели на IPython Notebook, който позволява да се визуализират резултатите от експериментите интерактивно в интернет браузър. Резултатът е среда подобна на Mathematica, но с отворен код и използваща широко разпространен език като Python. Много от графиките в тази работа са генерирани по този начин.

## 4.2 Конструирание на тестовите матрици

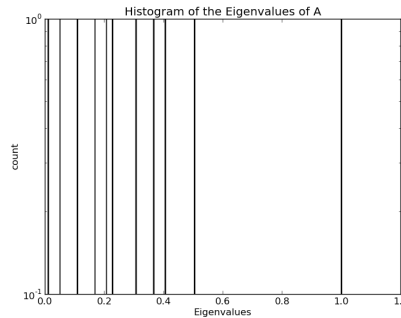
Тъй като грешката на Монте Карло метода за намиране на собствени стойности идва от две места, матриците, за които той е подходящ, трябва да отговарят на следните условия. Първо, трябва отношението между най-големия и следващия по абсолютна стойност собствени вектори да е малко ( $\ll 1$ ). Второ, за да имаме малка стохастична грешка, трябва матрицата да е добре балансирана по редове. В екстремалния случай когато всички редове имат една и съща стойност стохастичната грешка става 0.

### Уголемяване на матрици

Нека  $A$  е  $(na \times na)$  матрица с известни собствени стойности  $\lambda_1, \dots, \lambda_{na}$ . Нека  $Q$  е  $(nq \times nq)$  матрица с известни собствени стойности  $\mu_1, \dots, \mu_{nq}$ .

Ако дефинираме произведението на Кронекер между  $A$  и  $Q$ :  $X = A \otimes Q$ , то собствените стойности на  $X$  са  $\nu_{i,j} = \lambda_i \mu_j$  за  $i = 1, \dots, na$  и  $j = 1, \dots, nq$ .  $X$  има блокова структура на  $A$ , а всеки блок има структурата на  $Q$ .

За  $A$  избирам  $11 \times 11$  матрица със собствени стойности разпределени в  $(0, 1]$ , като е показано на фигура 4.1.



Фигура 4.1: Разпределение на собствените стойности на  $A$

За  $Q$  избирам  $Q_{ij} = \begin{cases} 1/(nq - j) & \text{ако } j \geq i \\ 0 & \text{другаде} \end{cases}$ ,

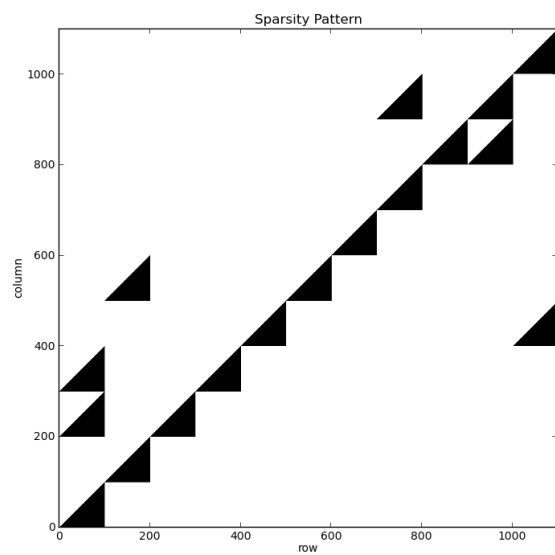
Така матрицата  $X$  с размери  $(1100 \times 1100)$  има структура показана на фигура 4.2.

Разпределението на собствените стойности на  $X$  може да бъде видяно на фигура 4.3. Отношението, което определя систематичната грешка е приблизително равно на 0.5.

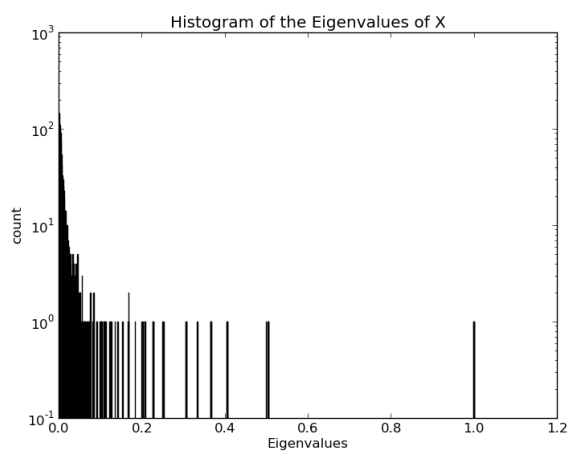
## 4.3 Резултати от експериментите

Експериментите са проведени на 64-ядрен компютър, поради което паралелизирането ни дава по-малки времена за изпълнение на програмта.

На фигура 4.4 са представени резултатите за малката матрица  $A$ . На фигура 4.5 са представени резултатите за малката матрица  $X$ . Поради малката експонентна систематичната грешка не позволява да се намерят с голяма



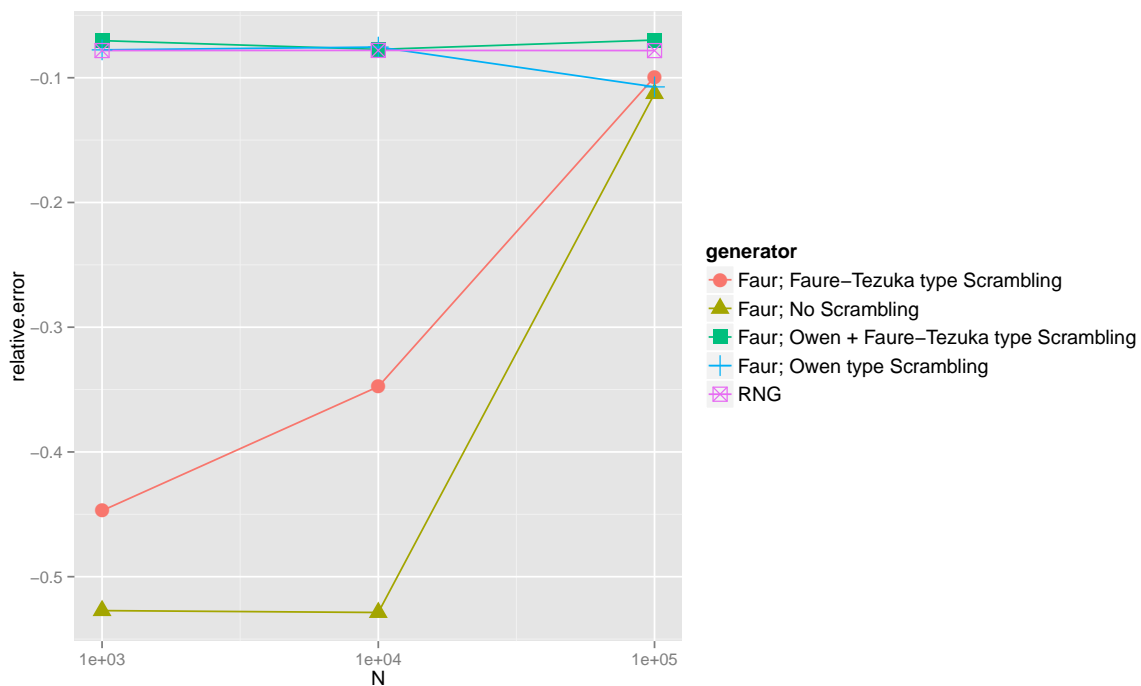
Фигура 4.2: Структура на голямата матрица  $X$



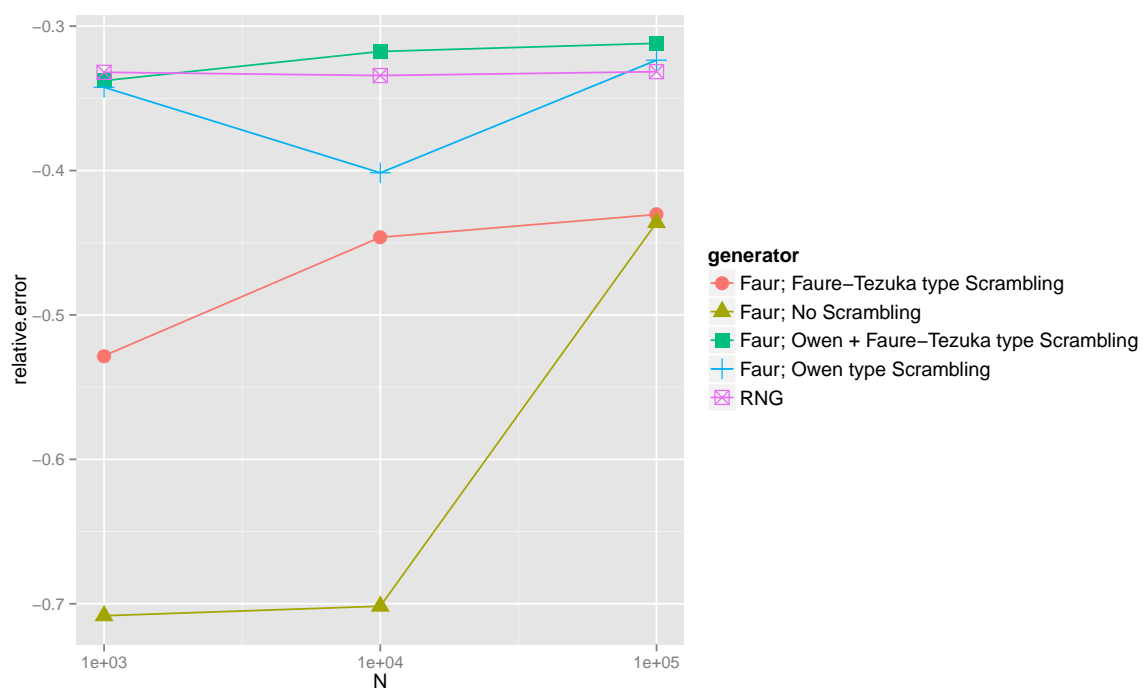
Фигура 4.3: Хистограма на собствените стойности на голямата матрица  $X$

точност собствената стойност. Все пак при разбърканите редици тази граница се достига по-точно и за по-малко итерации. В случая експериментите с псевдо случайни числа дават добри резултати, но в известна степен причина за това е и особеност на конкретната извадка. Квазислучайните редици в много по-малка степен зависят от конкретната извадка.

Най-добри резултати дава редицата на Фор с разбъркване на Оуен и Фор-Тезука и за голямата и за малката матрица.



Фигура 4.4: Резултати за матрицата  $A$



Фигура 4.5: Резултати за матрицата  $X$

Да отбележим, че времената за изпълнение на алгоритъма зависят от размерността на матрицата като корен квадратен от броя редове  $\sim n^{-1/2}$ , както може да се види в таблица 4.1. Това е значително подобрене над стандартния алгоритъм 1 или 2 разгледани в глава 1. При тях сложността е съответно  $O(Nn^2)$  и  $O(n^3 + Nn^2)$ . Ако матриците имат един и същи среден брой ненулев брой елементи на ред, то допълнителната нужната памет е пропорционална на броя редове  $n$ .

| N      | generator                                 | m | matrix | time      |
|--------|---|---|--------|-----------|
| 1000   | Faur; Faure-Tezuka type Scrambling        | 5 | A      | 0.60600   |
|        |   |   | X      | 4.94200   |
|        | Faur; No Scrambling                       | 5 | A      | 0.61000   |
|        |   |   | X      | 6.14800   |
|        | Faur; Owen + Faure-Tezuka type Scrambling | 5 | A      | 0.55600   |
|        |   |   | X      | 5.22800   |
|        | Faur; Owen type Scrambling                | 5 | A      | 0.59600   |
|        |   |   | X      | 5.19200   |
| 10000  | Faur; Faure-Tezuka type Scrambling        | 5 | A      | 0.58400   |
|        |   |   | X      | 4.92800   |
|        | Faur; No Scrambling                       | 5 | A      | 5.99800   |
|        |   |   | X      | 41.13400  |
|        | Faur; Owen + Faure-Tezuka type Scrambling | 5 | A      | 6.10800   |
|        |   |   | X      | 61.72000  |
|        | Faur; Owen type Scrambling                | 5 | A      | 5.66200   |
|        |   |   | X      | 52.59800  |
| 100000 | Faur; Owen type Scrambling                | 5 | A      | 5.95000   |
|        |   |   | X      | 50.16400  |
|        | RNG                                       | 5 | A      | 5.87800   |
|        |   |   | X      | 48.63800  |
|        | Faur; Faure-Tezuka type Scrambling        | 5 | A      | 59.62800  |
|        |   |   | X      | 562.52546 |
|        | Faur; No Scrambling                       | 5 | A      | 59.49800  |
|        |   |   | X      | 519.63746 |
|        | Faur; Owen + Faure-Tezuka type Scrambling | 5 | A      | 58.41000  |
|        |   |   | X      | 525.80000 |
|        | Faur; Owen type Scrambling                | 5 | A      | 60.13200  |
|        |   |   | X      | 584.88546 |
|        | RNG                                       | 5 | A      | 58.52200  |
|        |   |   | X      | 502.95746 |

Таблица 4.1: Време за провеждане на числения експеримент с матрица  $A$  с размери  $11 \times 11$  и с матрица  $X$  с размери  $1100 \times 1100$



## Глава 5

# Заклучение

В настоящата дипломна работа е изследван рандомизиран квази-Монте Карло алгоритъм за намиране на доминантна собствена стойност. При направените експерименти редицата на Фор с разбъркване на Оуен и Фор-Тезука дава най-добри резултати, дори при относително малък брой итерации.

Допълнителното време за изчисления при фиксиран брой итерации е пропорционално на корен квадратен от на броя на редове, а допълнителната памет е пропорционална на средния брой ненулеви елементи на ред и броя редове. Това е едно от основните предимства на алгоритъма.

## Приложение А

# Степенен метод с Монте Карло итерации на Python

Основната функция е `eigmcPowerMethod(A, m, N, numseq)`. `numseq` може да бъде произволна числова редица.

```
1 import numpy as np
2 import scipy.sparse as sp
3
4 def eigmcPowerMethod(A, m, N, numseq):
5     (n, nn) = A.shape
6     if (n != nn):
7         raise Exception, "non square matrix"
8     h = np.repeat(1.0, n)
9     p0 = h / sum(h)
10    P = normalize(A)
11    sumW = np.float96(0.0)
12    sumW_1 = np.float96(0.0)
13    for i in xrange(N):
14        k = getWeighted(range(n), p0, numseq)
15        W = h[k] / p0[k]
16        W_1 = W
17        for j in xrange(m):
18            k_1 = k
19            vals = P.indices[P.indptr[k_1]:P.indptr[k_1+1]]
20            weights = P.data[P.indptr[k_1]:P.indptr[k_1+1]]
21            k = getWeighted(vals, weights, numseq)
22            W_1 = W
23            W *= A[k_1, k] / P[k_1, k]
24        sumW += W
25        sumW_1 += W_1
26    return sumW / sumW_1
27
28 def normalize(A):
29     (data, indices, indptr) = (A.data.copy(), A.indices, A.indptr)
30     for i in xrange(len(indptr) - 1):
31         row = np.abs(data[indptr[i]:indptr[i + 1]])
32         rsum = np.sum(row)
33         if (rsum > 0.0):
```

```

34         data[indptr[i]:indptr[i + 1]] = row / rsum
35     else:
36         raise Exception("zero line")
37     return sp.csr_matrix((data, indices, indptr), shape=A.shape)
38
39 def getWeighted(vals, weights, rand):
40     if (np.abs(np.sum(weights) - 1) > 1e-6):
41         raise Exception("weights should sum up to 1!")
42     r = rand()
43     s = 0.0
44     i = 0
45     while(s <= r):
46         while(weights[i] <= 0): i += 1
47         s += weights[i]
48         i += 1
49     return vals[i - 1]

```

# Библиография

- [1] I. A. Antonov and V. M. Saleev. An economic method of computing  $LP\tau$ -sequences. *USSR Computational Mathematics and Mathematical Physics*, 19:252–256, 1979.
- [2] J. Beck and W. W. L. Chen. *Irregularities of Distribution*. Cambridge University Press, New York, 1987.
- [3] R. E. Calfisch. Monte carlo and quasi-Monte Carlo methods. *Acta Numerica*, (7):1–49, 1998.
- [4] K.-L. Chung. An estimate concerning the Kolmogoroff limit distribution. *Transaction of the American Mathematical Society*, (67):36–50, 1949.
- [5] R. Cranley and T. N. L. Patterson. Randomization of number theoretic methods for multiple integration. *SIAM Journal of Numerical Analysis*, (13):904–914, 1976.
- [6] Henri Faure. Good permutations for extreme discrepancy. *Journal of Number Theory*, (42):47–56, 1992.
- [7] G. E. Forsythe and R. A. Leibler. Matrix inversion by a monte carlo method. *Mathematical Tables and Other Aids to Computation*, (4):127–129, 1950.
- [8] Charles van Loan Gene H. Golub. *Matrix Computations*. The Johns Hopkins University Press, 3 edition, 1996.
- [9] J. H. Halton. On the efficiency of certain quasi-random sequences of points in evaluating multi-dimensional integrals. *Numerische Mathematik*, (2):84–90, 1960.
- [10] E. Hlawka. Funktionen von beschraenkter Variation in der Theorie der Gleichverteilung. *Annali di Matematica Pura ed Applicata*, (54):325–333, 1961.
- [11] Eric Jones, Travis Oliphant, Pearu Peterson, et al. SciPy: Open source scientific tools for Python, 2001–.
- [12] Aneta Karaivanova. Quasi-Monte Carlo methods for some linear algebra problems. convergence and complexity. *Serdica J. Computing, Bulgarian Academy of Sciences*, (4):57–72, 2010.

- [13] N. M. Korobov. The approximate computation of multiple integrals. *Dokl. Akad. Nauk SSSR*, (124), 1959.
- [14] L. Kuipers and H. Niederreiter. *Uniform distribution of sequences*. John Wiley and Son, New York, 1976.
- [15] Harald Niederreiter. Random number generation and quasi-Monte Carlo methods. *S.I.A.M.*, 1992.
- [16] A. Owen. Variance with alternative scramblings of digital nets. *ACM Transactions on Modeling and Computer Simulation*, 4(14):363–378, 2003.
- [17] Fernando Pérez and Brian E. Granger. IPython: a System for Interactive Scientific Computing. *Comput. Sci. Eng.*, 9(3):21–29, May 2007.
- [18] Bruno Tuffin. On the use of low discrepancy sequences in Monte Carlo methods. Technical Report 1060, I.R.I.S.A., Rennes, France, 1996.
- [19] H. Weyl. Über die gleichverteilung von Zahlen mod. eins. *Mathematische Annalen*, 77:313–352, 1916.
- [20] Анета Караиванова. *Стохастични числени методи и симулации*. Де-метра ЕООД, София, 2012.